

IV-2 土圧を受けたPC円形構造物のひずみ測定について

京都大学 正員 工修 西林新蔵
 ノ 学生員 川村満紀
 ノ 学生員 ○西田幸男

まえがき

PSコンクリートの発展とともに、従来のはり、枕木、矢板、床版などの直線部材だけではなく、タンク、サイロ、シェルなどの円形構造物もPCの特長を生かした設計が近年盛んに行なわれている。これらPC円形構造物では、予想されるオカールに対して十分安全とするため、複数の方法で円周方向にプレストレスを導入し、場合によっては鉛直方向にもプレストレスが導入される。

ここでは、昭和36年度より神戸港で施工されている防波堤用PCタンク(底版なし)に設置した土圧計によるひずみ計による測定結果について述べる。

PCタンクの製作はアレロード方式とフレシネー方式が採用されたが、本測定においてはフレシネー方式のPCタンクのみを対象とする。PCタンクの大きさは高さ11.0m、内径15.60m、壁厚1.5mで、これらは三建式圧入工法(特許)によつてまず1管を地中に圧入し、その上に1管を載せて防波堤としている。カールソン型ひずみ計による土圧計の設置位置を図-1、図-2が示す。

測定結果とその考察

中埋土圧の測定結果を図-3に示す。中埋土圧は沈設後時間とともに増加し、沈設後約6ヶ月頃から一定の値が、増加しても極く僅かであったので、測定結果の考察には、200日後の土圧を常時中埋土圧として取上げた。図-3は残留水圧を除いたタンク外側からの土圧を差引いた純中埋土圧の鉛直方向の分布図である。設計土圧の分布と比較すると、測定常時土圧の方が50~80%小さくなっていることがわかる。

中詰土圧のような複雑な分布荷重に対応する理論値は、等分布荷重あるいは集中荷重が

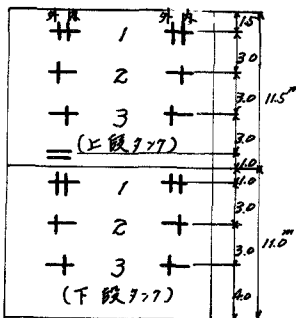


図-1 ひずみ計設置位置

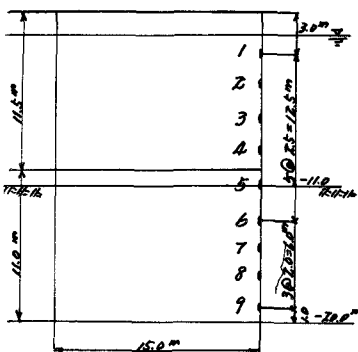


図-2 土圧計設置位置

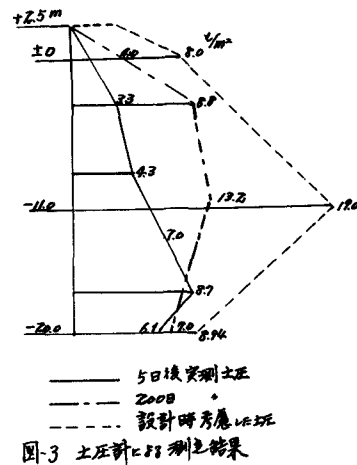


図-3 土圧計による測定結果

作用した場合の理論式の外では求めることができない。この場合ルは三角分布荷重の作用する理論式は等分布荷重の作用する理論式を重ね合わせることによって、かなり複雑な分布荷重に対する理論値を近似的に十分の精度をもって求めることができる。

沈設後15日および200日の実測土圧ルヒチャード PCタンク壁体に生ずるリンクストレス、曲げモーメントを理論式を用いて算出し、各測点での実測ひずみと比較すると表-1、表-2のようになる。実測ひずみ(内周方向)はPC鋼線繊維直後を原点にとると、中埋土砂によつて約 100×10^6 増大(引張)し、從つて応力はアレストレス導入時ル比較すると $12 \sim 50 \text{ kg/cm}^2$ 減少した二九である。実測値は導入応力減を最大15%と仮定しても理論値よりも約25% 小さい。

つづきに、沈設後200日の測定

中埋土圧について、前述したように常時中埋土圧と仮定して計算したひずみ、設計時考慮された常時土圧を用いて計算したひずみ、測定ひずみをそれぞれ E_2 , E_1 , E_3 として比較してみると、 E_1 は E_2 より E_3 に比して大きな値を示している。これは、設計で仮定された常時中埋土圧が大きすぎたためで、從つてアレス+Vスラブ導入量も過大になつてゐるが、複雜の外的条件(例えば、地盤、波、船舶の衝突等による衝撃に対する中埋土砂やPCタンクの拳動)を考慮すると構造物としては十分の安全性をもつてゐるといえよう。

表-1 中埋土圧によるリンクストレスおよび内周方向ひずみ

ランクの位置	測定点	各7.7m 下端から 測定点の距離 (cm)	内周方向力		リンクストレス(kg/cm^2)		ひずみ($\times 10^{-6}$)					
			沈設後	沈設後	沈設後	沈設後	沈設後 5日の中圧	沈設後 200日の中圧				
			理論値	理論値	理論値	理論値	理論値	実測値	実測値	実測値		
上	1	1050	45.1	120.8	3.0	8.1	100	7.6	5.1	26.8	15.1	66.0
	2	750	18.2	49.3	12.6	32.9	61.2	21.1	21.3	107.7	102.3	97.2
	3	450	29.0	78.4	19.4	52.3	64.7	37.8	24.3	174.3	69.7	96.1
中	1	1000	41.8	73.4	27.9	62.5	93.0	96.8	12.0	208.3	84.8	117.0
	2	700	52.1	88.2	36.1	58.9	120.0	158.0	48.4	196.3	186.0	108.2
	3	400	61.8	75.2	41.2	50.2	127.4	128.0	—	167.4	—	—

($E_c = 30,000 \text{ kg/cm}^2$ と仮定)

表-2 中埋土圧による曲げモーメントおよび筋直方向ひずみ

ランクの位置	測定点	各7.7m 下端から 測定点の 距離 (cm)	曲げモーメント		曲げモーメント による筋直方向ひずみ		ひずみ($\times 10^{-6}$)							
			沈設後	沈設後	沈設後	沈設後	沈設後 5日の中圧	沈設後 200日の中圧						
			理論値	理論値	理論値	理論値	理論値	実測値	理論値	実測値				
上	1	1050	15.0	40.1	0.4	1.1	-0.3	0.3	-4.1	3.0	-0.9	0.9	11.9	87.8
	2	750	6.4	15.5	0.2	0.4	-1.4	1.4	-6.7	11.3	-18.9	18.9	-2.3	27.8
	3	450	4.3	10.4	0.1	0.3	-10.4	10.4	-21.5	23.6	-28.1	28.1	-21.5	94.5
中	1	1000	24.6	28.5	6.6	10.3	0.4	-6.4	2.8	-6.6	-0.6	0.6	-2.2	27.6
	2	700	-5.4	12.1	-0.1	0.3	-20.6	20.6	-13.0	19.3	-31.6	31.6	-64.8	30.1
	3	400	-59.8	-7.3	-1.6	-0.2	-28.2	28.2	-22.7	25.5	-28.6	28.6	—	32.5

($E_c = 30,000 \text{ kg/cm}^2$ と仮定) $E_g = 10 \text{ GPa}$

表-3 理論ひずみと実測ひずみの比較(内圧)

ランクの位置	測定点	各7.7m 下端から 測定点の 距離 (cm)	沈設後 5日の中圧		沈設後 200日の中圧					
			理論値	実測値	理論値	実測値				
			$E_1 \times 10^6$	$E_2 \times 10^6$	$E_3 \times 10^6$	$E_4 \times 10^6$				
上	1	1050	—	10.0	7.6	5.1	67.0	26.8	15.1	66.0
	2	750	—	41.2	21.1	21.3	176.5	107.7	102.3	97.2
	3	450	—	64.7	37.8	24.3	205.8	174.3	69.7	96.1
中	1	1000	—	93.0	96.8	12.0	216.0	208.3	84.8	117.0
	2	700	—	120.0	158.0	48.4	255.2	196.3	186.0	108.2
	3	400	—	127.4	126.0	—	197.5	167.4	—	—

($E_c = 30,000 \text{ kg/cm}^2$ と仮定) $E_g = 10 \text{ GPa}$